

بسته نرم افزاری تحلیل و مدلسازی مسائل مهندسی شامل فیزیکهای چندگانه

مجتبی حقیقی یزدی^۱ و جعفر اسکندری جم^۲

چکیده: در این پژوهش قابلیتهای یک نرم افزار مدلسازی اجزای محدود با عنوان کامسول بررسی شده است. در این خصوص، یک مثال پر کاربرد در زمینه مهندسی مکانیک را به و با استفاده از این نرم افزار تحلیل شده است. این نرم افزار دارای مازولهای گوناگونی برای حل مسائل مهندسی است و این امکان را فراهم می آورد که چند مازول به طور همزمان برای مدلسازی مسائل به کار برد شود و در نتیجه، تحلیل مسائل مهندسی شامل فیزیکهای چندگانه ساده تر صورت گیرد. در این پژوهش مازولهای مکانیک سازه‌ای و معادلات دیفرانسیل جزئی در نرم افزار، برای بررسی مثال یاد شده استفاده می شود. تحلیل مسئله مورد نظر که شامل بررسی رفتار لوله پلیمری انتقال گاز است، نشان می دهد که چگونه این نرم افزار در تحلیل عددی مسائل مهندسی شامل فیزیکهای چندگانه کوبل شده سودمند است. نتایج رضایت‌بخش حاصل از این مسئله علمی - صنعتی پر کاربرد، قابلیت این نرم افزار را در مدلسازی و همچنین، تحلیل عددی مسائل با روش اجزاء محدود برای مهندسان، پژوهشگران و دانشجویان بیش از پیش روشن می سازد.

واژه‌های کلیدی: بسته نرم افزاری، مدلسازی اجزاء محدود، مسائل مهندسی، فیزیکهای چندگانه.

۱. استادیار دانشکده مکانیک دانشگاه تهران، تهران، ایران. mohaghghi@ut.ac.ir

۲. استاد دانشگاه صنعتی مالک اشتر، پژوهشکده کامپوزیت، تهران، ایران. jejam@mail.com

۱. مقدمه

فیزیکهای موجود در مسائل مهندسی مکانیک به زبان ریاضی به صورت معادلات حاکم و در قالب معادلات دیفرانسیل جزئی^۱ بیان می‌شوند. یکی از دغدغه‌های اصلی طراحان و مهندسان علم مکانیک در این نوع مسائل، حل این معادلات حاکم و بدست آوردن توزیع متغیر اصلی معادلات (مانند جابه‌جایی، دما، رطوبت و غیره) در سراسر ناحیه مدل هندسی مورد نظر و از طریق آن بدست آوردن دیگر مشتقات متغیر اصلی (مانند کرنش و تنش، شار حرارتی، شار رطوبتی و غیره) است. به طور کلی، دو روش حل در این مسائل دنبال می‌شود: در روش اول که بر حل تحلیلی مسئله استوار است، جوابی با دقت بالا برای مسئله یافت می‌شود، اما این روش برای مدل‌های پیچیده و پیشرفت‌داری مسیرهای طولانی حل و در موارد بسیاری بدون پاسخ است. روش دوم که در برگیرنده روش‌های عددی حل مسائل است، هر چند دارای دقتی کمتر از روش تحلیلی است، اما برای مدل‌های پیچیده و به ویژه فیزیکهای چندگانه مناسب‌تر است.

یکی از معروف‌ترین روش‌های حل عددی، روش اجزای محدود^۲ است. معمولاً طراحان و مهندسان مکانیک بهمنظور به کارگیری این روش از بسته‌های نرم‌افزاری گوناگونی بهره می‌جویند که از مشهورترین آنها می‌توان به نرم‌افزارهای انسیس^۳ و آباکوس^۴ اشاره کرد.

از نقاط قوت این نرم‌افزارها جامعیت نسبی آنها در خصوص مسائل مختلف مهندسی مکانیک است؛ بدین معنا که بیشتر فرایندها و پدیده‌های مکانیکی را شامل می‌شوند و مهندسان مکانیک نیز از دیرباز با این نرم‌افزارها آشنا بوده‌اند. با وجود این، کاربران این نرم‌افزارها برای مدلسازی و حل مسائل شامل فیزیکهای چندگانه، یعنی مسائلی که در آنها کوپلینگ بین دو یا چند فیزیک وجود دارد، با چالش‌هایی مواجه هستند، چرا که در بیشتر موارد برای مدلسازی نیاز به نوشتن کدهای کامپیوتری است که خود مراحل مدلسازی را زمانبر و پیچیده می‌کند.

بسته نرم‌افزاری اجزای محدود کامسول^۵ دارای مازولهای مختلفی برای حل مسائل فیزیکهای گوناگون همچون مکانیک سازه‌ای، انتقال حرارت، واکنشهای شیمیایی، جریان الکتریکی و غیره است. یکی از ویژگیهای بارز این نرم‌افزار، همان‌گونه که از نام آن نیز بر می‌آید، قابلیت مدلسازی فیزیکهای چندگانه کوپل شده است. به منظور بررسی قابلیتهای این نرم‌افزار می‌توان مسئله‌ای را که

1. Partial Differential Equation (PDE)
2. Finite Element Method (FEM)
3. ANSYS
4. ABAQUS
5. COMSOL Multiphysics

شامل فیزیکهای چندگانه کوپل شده است، با این نرمافزار تحلیل و نتایج به دست آمده را با نتایج مشابه در نرمافزارهای دیگر مقایسه کرد. مسئله‌ای که در این پژوهش بررسی شده است، در برگیرنده فیزیکهای مکانیک سازه‌ای، انتقال حرارت و نفوذ جرم در یک ماده پلیمری است. در این مسئله ماده پلیمری بهدلیل کاربرد کارواون آن در صنایع مختلف و در نتیجه، قرارگرفتن در شرایط محیطی گوناگون در نظر گرفته شده است.

حل چنین مسئله‌ای بهدلیل کوپل شدن فیزیکهای موجود در آن پیچیده است. یکی از کوپلینگ‌ها، کوپلینگ بین انتقال حرارت و مکانیک سازه‌ای است که مسئله‌ای متداول از فیزیکهای دوگانه کوپل شده است. در این نوع کوپلینگ برای محاسبه تنش ایجاد شده در سازه معمولاً ابتدا یک تحلیل حرارتی برای تعیین توزیع دما در سازه انجام می‌پذیرد. به طور مشابه، نفوذ رطوبت و گازها درون مواد پلیمری معمولاً همراه با انتقال حرارت و تغییر شکل مکانیکی است و در نتیجه، این سه مکانیزم فیزیکی - مکانیک سازه‌ای، نفوذ جرم و انتقال حرارت - اثرهای متقابلی بر رفتار ماده دارند.

با مطالعه کارهای پژوهشی در زمینه مدلسازی فیزیکهای چندگانه کوپل شده در می‌یابیم که پژوهشگران رویکردهای گوناگونی را برای مدلسازی رفتار کوپل شده به کار برده‌اند که بسیاری از آنها بر پایه کارکردهای نرمافزارهای به کار رفته استوار بوده‌اند. با توجه به شباهت بین انتقال حرارت و انتقال ماده، تعدادی از پژوهشگران از مازولهای موجود مدلسازی اجزای محدود، که برای تحلیل مکانیکی - حرارتی به کار می‌روند، برای مدلسازی رفتار کوپل شده انتقال ماده و مکانیک سازه‌ای استفاده کرده‌اند. برای نمونه، وانگ و همکارانش^[۱] این روش را برای مشخصه سازی برآمدگی ناشی از رطوبت در مواد پلیمری در حین لحیم کاری قطعات الکترونیکی به کار برده‌اند. تخریب ایجاد شده به وسیله رطوبت در اتصالات چسبی نیز با استفاده از روش مشابهی در پژوهش ته و همکارانش^[۲] بررسی شده است. در تحقیق آنها روش تحلیلی اجزای محدود برای مطالعه اثر اختلاف ضربی انبساط رطوبت بر روی تنش ناشی از تورم رطوبتی در قطعات الکترونیکی به کار برده شده است.

به طور مشابه، تعدادی از دانشمندان از ضربی انبساط حرارتی معادل که در برگیرنده کرنش برآمدگی^۱ از نوع حرارتی و رطوبتی است، بهره جسته‌اند. لاهوتی و همکارانش^[۳] با استفاده از این روش با کرنش برآمدگی رطوبتی به صورت یک «کرنش حرارتی» اضافی برخورد کردند. در پژوهش آنها تحلیل اجزای محدود سه بعدی به کار برده شد تا اثر دما و رطوبت بر کارایی قطعات کوچک الکترونیکی مطالعه شود. هولالکر و همکارانش^[۴] نیز در مطالعه تورق قطعات پلاستیکی از تحلیل تنشی اجزای محدود و مکانیک شکست برای ارزیابی حساسیت به رطوبت در میکرومدارهای

بسته‌بندی شده در پلاستیک استفاده کردند. در روش به کاربرده شده برآمدگی به عنوان یک ضریب انبساط حرارتی معادل در نظر گرفته شد.

تحلیلهای کوپل شده پشت سر هم روش دیگری برای مدلسازی فیزیکهای کوپل شده انتقال ماده و مکانیک سازه‌ای است. در این روش ابتدا یک تحلیل انتقال ماده گذرا انجام می‌پذیرد و نتایج به دست آمده از این تحلیل به عنوان بارگذاری در تحلیل سازه‌ای بعدی منظور می‌شود. زو^[۵] با به کار بردن این روش در تعیین دقیق ضریب انبساط رطوبتی، فرایند مشخصه سازی برآمدگی رطوبتی در مواد پلیمری را شبیه سازی کرد.

تحلیل کوپل کامل، روشنی قدرتمند در مدلسازی فیزیکهای کوپل شده است که تعدادی از پژوهشگران از آن استفاده کرده‌اند^{[۶]، ۷، ۸، ۹ و ۱۰}. این روش شامل حل همزمان معادلات حاکم کوپل شده است و در نتیجه، کوپلهای بین مکانیزم‌های فیزیکی مختلف را همزمان در نظر می‌گیرد. رمبرت و همکارانش^[۶] با استفاده از این رویکرد یک مدل مکانیکی - نفوذ - حرارتی ارائه دادند. این مدل در چارچوب ترمودینامیک کلاسیک توسعه پیدا کرد و یک دسته معادلات ساختاری کوپل شده برای رفتار الاستیک خطی به دست آمد. رمبرت و همکارانش^[۶] روش اجزای محدود نرم‌افزار انسیس را برای پیاده سازی کوپلینگ مستقیم در معادلات حاکم به کار برند و المان جدیدی با عنوان المان تعريف شده توسط کاربر^۱ برای این منظور ایجاد کردند. روشنی که آنان به کار بردن، کوپلینگ بین سه فیزیک در گیر در مسئله در نظر گرفته می‌شود، اما نرم‌افزاری که آنها به کار برده‌اند، نیازمند ایجاد یک نوع المان جدید با استفاده از نرم‌افزارهای برنامه نویسی‌ای مانند فورترن^۲ است که این خود بر پیچیدگی مدلسازی می‌افزاید و در نتیجه، از انعطاف‌پذیری آن می‌کاهد. با وجود این، بر اساس دانش کتابخانه‌ای نویسنده‌گان این مقاله، گروه رمبرت و همکارانش تاکنون پیشرفت‌های ترین کار را در این حوزه به چاپ رسانده‌اند. چندی پیش نیاموی و همکارانش^[۱۱] مدلسازی فیزیکهای چندگانه را که شامل انتقال حرارت، انتقال جرم و نیز مکانیک جامدات با رفتار الاستیک است، با به کارگیری نرم‌افزار کامسول به انجام رسانندند. آنها رسانش حرارتی، نفوذ جرم و مکانیک جامدات الاستیک را در زیست مواد تغییر شکل پذیر و دارای شکل نامنظم از قبیل میگو که در فرایند خشک کردن قرار می‌گیرد، با کوپل کردن مازولهای مهندسی شیمی و مکانیک سازه‌ای مدل کردند.

هدف از پژوهش حاضر بررسی کارایی و قابلیت نرم‌افزار کامسول برای تحلیل فیزیکهای کوپل شده سه‌گانه مکانیک سازه‌ای، نفوذ جرم و همچنین، انتقال حرارت در یک لوله گاز رسان با استفاده از معادلات ساختاری بود که رمبرت و همکارانش^[۶] ارائه کرده‌اند. در بخش‌های بعدی این مقاله

1. User-Defined Element (UEL)
2. Fortran

پیش زمینه‌ای راجع به پدیده نفوذ ارائه و معادلات حاکم بر سه فیزیک کوپل شده معرفی شده است. در ادامه، قالبی که در آن نرمافزار کامسول به کار برده شد تا مدلسازی برای تحلیل پارامتری مسئله انجام گیرد، تشریح شده است. سرانجام، برای ارزیابی درستی نتایج بدست آمده از مدلسازی در این پژوهش، جوابهای به دست آمده از مدلسازی با نرمافزار آباکوس، برگرفته از مطالعات رمبرت و همکارانش، با یافته‌های مدلسازی کامسول مقایسه شده است.

۲. پدیده نفوذ و معادلات حاکم بر فیزیکهای سه گانه

مشهورترین نظریه در زمینه نفوذ را فیک در سال ۱۸۵۵ ارائه کرد. این نظریه که بر اساس شباهت موجود بین نفوذ و جریان حرارت پایه‌گذاری شده است، به صورت زیر است [۱۲]:

$$J = -D \frac{dC}{dx} \quad (1)$$

که در آن J و C به ترتیب شار و غلظت مواد نفوذی و D ضریب نفوذ است. معادله ۱ نفوذ حالت پایدار را در یک سیستم یک بعدی (جهت x) بیان می‌کند و به قانون اول نفوذ فیک معروف است. قانون دوم نفوذ فیک رابطه‌ای را برای نفوذ حالت غیر پایدار به صورت زیر ارائه می‌کند [۱۲]:

$$\frac{\partial C}{\partial t} = \frac{\partial}{\partial x} \left(D \frac{\partial C}{\partial x} \right) \quad (2)$$

قوانين اول و دوم نفوذ فیک نوعی از نفوذ را ارائه می‌دهند که به وسیله گرادیان غلظت، $\partial C / \partial x$ ، ایجاد می‌شود. اما زمانی که ماده نفوذی وارد پلیمر می‌شود، پلیمر تغییر شکل می‌یابد و در نتیجه، تنش در ماده ایجاد می‌شود. تنش ایجاد شده موجب می‌شود که مولکولهای ماده نفوذی از گستره‌های با تنش بالا به مناطق با تنش پایین حرکت کنند [۱۳]. این اثر که به اثر فشاری نیز معروف است، نشان می‌دهد چگونه دو مکانیزم فیزیکی بر روی هم اثر متقابل دارند. به طور مشابه، اختلاف دما نیز می‌تواند موجب ایجاد نفوذ جرم شود. این اثر که اثر سوره نامیده می‌شود، نشان دهنده ارتباط متقابل بین انتقال حرارت و نفوذ جرم است.

رمبرت و همکارانش [۶، ۷، ۸ و ۹] در مدلسازی ارتباط متقابل بین سه فیزیک انتقال حرارت، نفوذ گاز و مکانیک سازه‌ای تمام کوپلینگهای موجود بین فیزیکها را در چارچوب ترمودینامیک فرایندهای برگشت ناپذیر مورد توجه قرار دادند. آنها ساده‌ترین مدل را برای مخلوط گاز و پلیمر

۱۲۲ بسته نرم افزاری تحلیل و مدلسازی مسائل مهندسی شامل فیزیکهای چندگانه

منظور کردن و معادلات ساختاری را با به کار بردن قوانین توازن جرمی، مکانیکی و ترمودینامیکی برای مخلوط مورد نظر به دست آورده‌اند [۶، ۷ و ۸]. معادلات حاکم به صورت زیر هستند [۷]:

$$S = S_o + \lambda(\operatorname{tr} E^e)I + 2\mu E^e - (3\lambda + 2\mu)[\alpha^T \Delta T + \alpha^D \Delta Y_g]I \quad (۳)$$

$$\rho_o s_g \dot{Y}_g = \rho_o D s_g \operatorname{Div}[\nabla Y_g] + [K_{T\mu} - C_{TY} K_\mu] \operatorname{Div}[\nabla T] - K_\mu \alpha^D \frac{(3\lambda + 2\mu)}{\rho_o} \operatorname{Div}[\nabla (\operatorname{tr} E^e)] \quad (۴)$$

$$\begin{aligned} \rho_o C_T \dot{T} &= [\lambda_T + C_{TY} T (C_{TY} K_\mu - 2K_{T\mu})] \operatorname{Div}[\nabla T] - (3\lambda + 2\mu) \alpha^T T \operatorname{tr} \dot{E}^e + (K_{T\mu} - C_{TY} K_\mu) \frac{\rho_o D s_g}{K_\mu} \operatorname{Div}[\nabla Y_g] \\ &- (K_{T\mu} - C_{TY} K_\mu) T \alpha^D \frac{(3\lambda + 2\mu)}{\rho_o} \operatorname{Div}[\nabla (\operatorname{tr} E^e)] + (C_{TY} K_\mu - 2K_{T\mu}) C_{TY} |\nabla T|^2 + \frac{(\rho_o D s_g)^2}{K_\mu} |\nabla Y_g|^2 \\ &+ K_\mu \left[\alpha^D \frac{(3\lambda + 2\mu)}{\rho_o} \right]^2 |\nabla (\operatorname{tr} E^e)|^2 + 2(K_{T\mu} - C_{TY} K_\mu) \frac{\rho_o D s_g}{K_\mu} \nabla T \cdot \nabla Y_g - 2(3\lambda + 2\mu) D s_g \alpha^D \nabla Y_g \cdot \nabla (\operatorname{tr} E^e) \\ &- 2(K_{T\mu} - C_{TY} K_\mu) \alpha^D \frac{(3\lambda + 2\mu)}{\rho_o} \nabla T \cdot \nabla (\operatorname{tr} E^e) + q \end{aligned} \quad (۵)$$

تعاریف حروف و علامات به کار برده شده در معادلات یادشده در جدول ۱ ارائه شده‌اند.

جدول ۱: تعریف حروف و علامات استفاده شده در معادلات ۳ تا ۵ [۶]

علامت	تعریف
α^D	ضریب انبساط رطوبتی
α^T	ضریب انبساط حرارتی
λ, μ	ثابتهای لامه
λ_T	رسانایی حرارتی
ρ_o	چگالی متوسط مخلوط
C_T	ظرفیت گرمایی ویژه
C_{TY}	ضریب نشان دهنده اثر تغییر دما (غلظت) بر پتانسیل شیمیایی (انتروپی)
D	ضریب نفوذ
E^e	تansور کرنش الاستیک
K_μ	ضریب مربوط به اثر گرادیان پتانسیل شیمیایی بر شار جرمی گاز

$K_{T\mu}$	ضریب مرتبط با اثر گرادیان دما (پتانسیل شیمیایی) بر شار جرمی (انتروپی)
Q	چگالی حجمی حرارت تولید شده به وسیله منبع خارجی
s_g	ضریب حل پذیری گاز در پلیمر
S	تاسور تنش کوشی
S_o	تансور تنش کوشی اولیه
T	دما
Y_g	جزء جرمی گاز

معادلات ۳ تا ۵ به ترتیب معادلات ساختاری مکانیک سازه‌ای، انتقال جرم و انتقال حرارت هستند که در آنها پنج ضریب کوپلینگ ($\alpha^T, \alpha^D, K_\mu, K_{T\mu}, C_{TY}$) معادلات را به یکدیگر مرتبط می‌سازند.

۳. معرفی نرم‌افزار کامسول

نرم‌افزار کامسول نرم‌افزار قدرتمندی است که بر اساس زبان برنامه نویسی متلب^۱ بنا شده است. این نرم‌افزار که از ابتدا با نام فملب^۲ معرفی شد، در سال ۱۹۹۸ میلادی ایجاد شد و در سال ۲۰۰۵ میلادی به صورت کنونی درآمد. به طور کلی، نرم‌افزارهای مهندسی به منظور آموزش یا پژوهش یا هر دو به کار می‌روند که از آن دسته می‌توان به نرم‌افزار آموزش نحوه عملکرد توربینهای بادی در سیستم‌های انرژی تجدید پذیر^[۱۴]، نرم‌افزار تدوین شده برای آموزش رباتیک^[۱۵] و نرم‌افزار آموزشی - پژوهشی درایوهای موتور القایی^[۱۶] اشاره کرد. به طور مشابه، نرم‌افزار کامسول نیز قابلیت استفاده برای اهداف آموزشی و پژوهشی را دارد. این نرم‌افزار که به عنوان وسیله‌ای محاسباتی برای معادلات دیفرانسیل جزئی نیز عمل می‌کند، امکان تغییرات معادلات را فراهم می‌سازد. قابلیت مدلسازی فیزیکهای چندگانه نرم‌افزار می‌تواند با در برگرفتن مسائل پیچیده نیز گسترش داده شود. همچنین، نرم‌افزار کدهای ام - فایل (m-file) مربوط به نرم‌افزار متلب را نیز تولید می‌کند که خود موجب آسان‌تر شدن برنامه نویسی می‌شود. همین قابلیت نرم‌افزار، یعنی ارتباط همزمان با نرم‌افزار متلب، توانایی نرم‌افزار را در حل مسائل پیچیده ریاضی و مهندسی (مانند معادلات غیر خطی سیالات ریز - قطبی^[۱۸] و^[۱۹] افزایش می‌دهد. نرم‌افزار کامسول از روش مدلسازی اجزای محدود به عنوان ابزاری برای محاسبه معالات دیفرانسیل جزئی استفاده می‌کند. در واقع، معالات دیفرانسیل جزئی را به مجموعه‌ای از ماتریس‌سفتی و بردار بارگذاری تعریف شده در روش اجزای محدود تبدیل و سپس،

1. Matlab
2. Femlab
3. Micro-Polar Fluids

معادلات را در محدوده زیر دامنه‌های کوچکتر یا همان اجزای محدود حل می‌کند. از نظر ریاضی نرم‌افزار کامسول با استفاده از مفاهیم اجزای محدود یک معادله دیفرانسیل جزئی را به شکل ضعیف آن تبدیل می‌سازد که در آن توابع پایه‌ای لاگرانژ (یا توابع شکل) برای نشان دادن متغیرهای میدان به صورت ناپیوسته بر روی دامنه استفاده می‌شوند. سپس، از این‌گونه توابع ناپیوسته انتگرال‌گیری می‌شود تا جواب مسئله به دست آید [۲۰].

۳. مازول معادلات دیفرانسیل جزئی

نرم‌افزار کامسول مازولهای متفاوتی برای مدل کردن فیزیکهایی همچون مکانیک سازه‌ای، انتقال حرارت، نفوذ و غیره دارد. یکی از این مازولها، مازول معادلات دیفرانسیل جزئی است که برای مدلسازی بر اساس معادلات استفاده می‌شود [۲۱]. به کار بردن این مازول در نرم‌افزار، مدلسازی دستگاه پیچیده معالات دیفرانسیل جزئی را آسان‌تر می‌سازد و این به دلیل برتریهای متعددی است که نرم‌افزار دارد، مانند در دسترس بودن منبع کد نرم‌افزار، آسانی اصلاح آن و عدم نیاز به نوشتن کد المان جدید توسط کاربر. مازول معادلات دیفرانسیل جزئی در نرم‌افزار سه شکل از معادلات دیفرانسیل جزئی را در اختیار کاربران قرار می‌دهد: شکل ضربی، شکل عمومی و شکل ضعیف. از آنجایی که در این پژوهش از شکلهای ضربی و عمومی معادلات دیفرانسیل جزئی استفاده شده است، این دو شکل در مسئله مورد نظر در این مقاله به اختصار در زیر معرفی می‌شوند:

شکل ضربی معالات دیفرانسیل جزئی (Coefficient Form)

$$e_a \frac{\partial^2 Y_g}{\partial t^2} + d_a \frac{\partial Y_g}{\partial t} + \nabla \cdot (-c \nabla Y_g - \alpha Y_g + \gamma) + a Y_g + \beta \cdot \nabla Y_g = f \quad (6)$$

که در آن Y_g متغیر مستقل روی دامنه محاسباتی است که با Ω در نرم‌افزار کامسول نشان داده می‌شود.

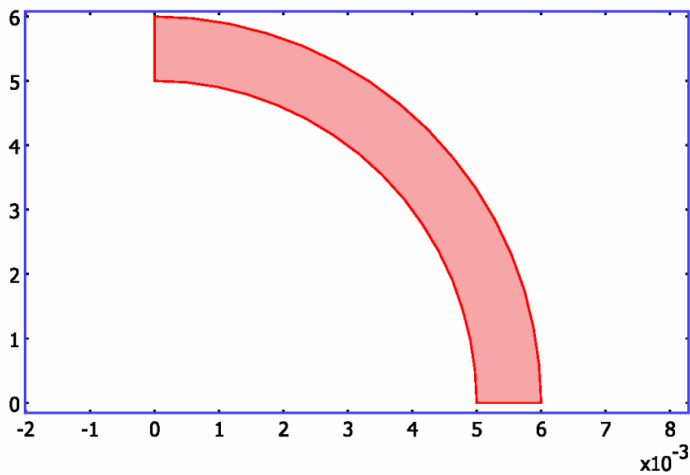
شکل عمومی معالات دیفرانسیل جزئی (General Form)

$$e_a \frac{\partial^2 T}{\partial t^2} + d_a \frac{\partial T}{\partial t} + \nabla \cdot \Gamma = F \quad (7)$$

که در آن T و F توابع متغیر وابسته به متغیر دما، T و مشتقهای آن بر روی دامنه محاسباتی Ω هستند.

۴. کاربرد نرم افزار کامسول

به منظور مدلسازی سه فیزیک کوپل شده در نرم افزار کامسول، یک مثال نوعی بررسی شده است. یک مدل دو بعدی برای یک لوله گاز (شکل ۱) برای آسان تر ساختن تحلیل پارامتری از حالات کوپلینگ مختلف ایجاد شد. هندسه لوله مشابه هندسه‌ای است که رمبرت و همکارانش [۶، ۷، ۸] به کار برده‌اند که دارای قطر داخلی ۵ میلیمتر و ضخامت ۱ میلیمتر است. بدلیل تقارن لوله فقط یک چهارم آن مدل شده است.



شکل ۱: هندسه یک چهارم لوله مدل شده در نرم افزار کامسول

در این تحلیل لوله مورد نظر از جنس پلی وینیلیدن^۱ با ویژگیهای مواد ارائه شده در جدول ۲ ساخته شده است. مشابه کار مطالعاتی رمبرت و همکارانش [۶]، فرض شده است که لوله رفتار کشسانی خطی دارد.

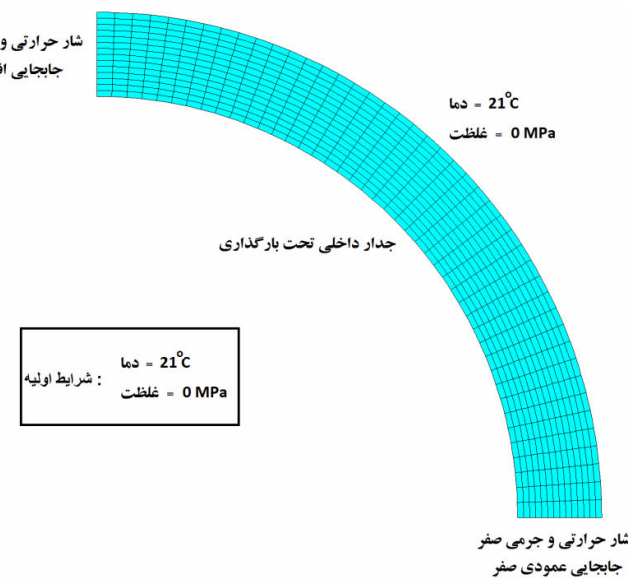
1. PVDF

۱۲۶ بسته نرم افزاری تحلیل و مدلسازی مسائل مهندسی شامل فیزیکهای چندگانه

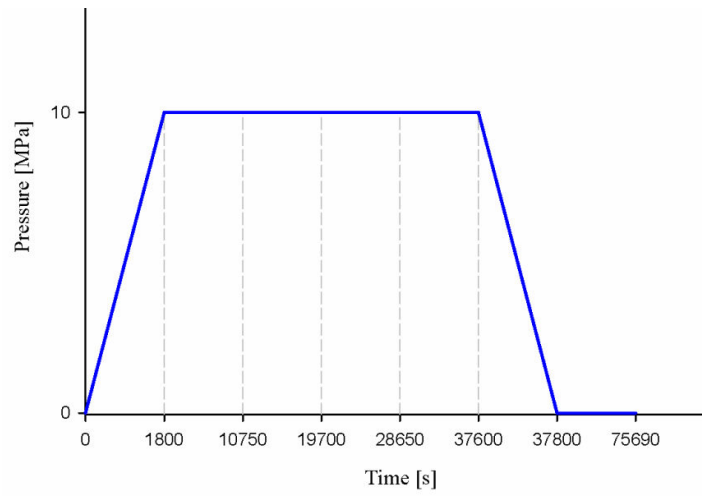
جدول ۲: خصوصیات مواد یک نمونه پلی وینیلیدن و گاز دی اکسید کربن در دمای 21°C . [۶]

مقدار	(واحد) پارامتر
1745	ρ_o (kg/m^3)
2000	λ (MPa)
631	μ (MPa)
1045	C_T (J/kg.K)
0.26	λ_T (W/m.K)
10^{-5}	α^T (K^{-1})
5.539×10^{-9}	s_g (Pa^{-1})
9.8×10^{-12}	d (m^2/s)
2.2×10^{-13}	α^D (\emptyset)

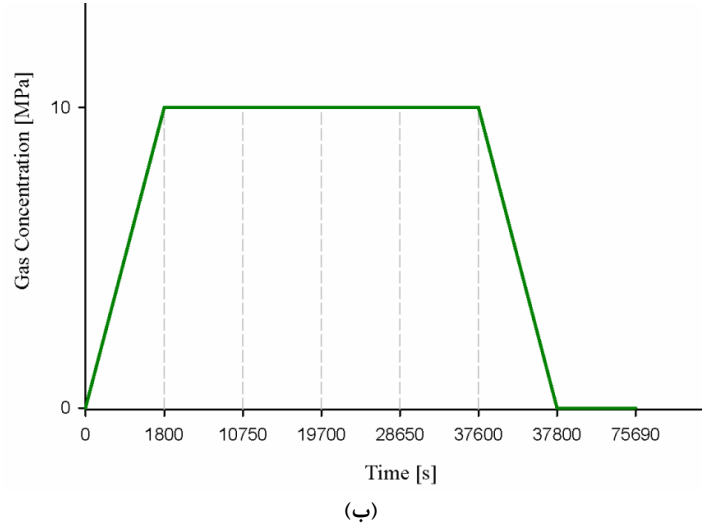
لوله مورد نظر در این مسئله برای انتقال گاز دی اکسید کربن به کار می‌رود و بنابراین، تحت تأثیر تغییرات فشار داخلی، دما و غلظت گاز است. شرایط مرزی، شرایط اولیه و همچنین، نمودارهای بارگذاری لوله در شکلهای ۲ و ۳ نشان داده شده‌اند.



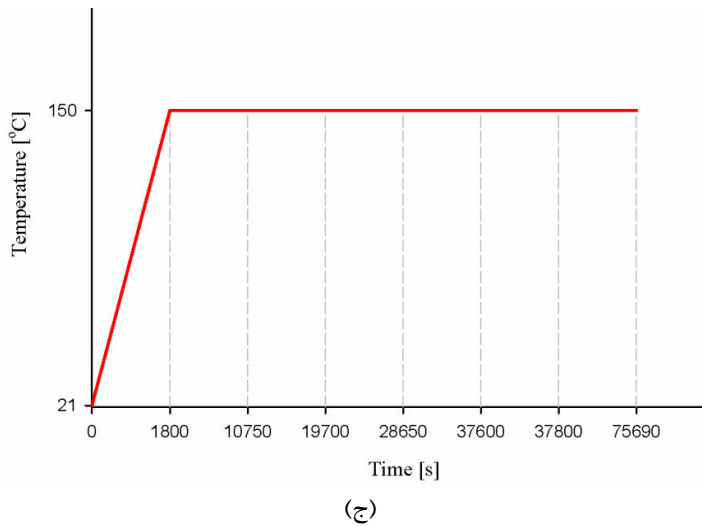
شکل ۲: مدل شبکه بندی شده لوله با شرایط مرزی و اولیه [۷]



(الف)



(ب)



شکل ۳: نمودارهای بارگذاری سطح داخلی لوله، (الف) فشار، (ب) غلظت گاز، (ج) دما [۶]

برای مدلسازی سه فیزیک کوپل شده به وسیله معادلات حاکم ۳ تا ۵، یک مدل فیزیکی چندگانه ایجاد شد. از آنجایی که تحلیل دو بعدی است و لوله در شرایط کرنش صفحه‌ای قرار دارد، تحلیل گذرای حالت کرنش صفحه‌ای از مازول مکانیک سازه‌ای نرم‌افزار انتخاب شد، اما این حالت نرم‌افزار فقط تنش مکانیکی معادله ۳ را مدل می‌کند (سه عبارت اول سمت راست معادله). بنابراین، برای مدل کردن تنشهای ایجاد شده با تغییرات دما و غلظت گاز؛ یعنی عبارت $(3\lambda+2\mu)(\alpha^T \Delta T + \alpha^D \Delta Y_g)$ دستگاه معادلات مربوط به زیر دامنه مدل اصلاح شد.

از آنجایی که معادلات ۴ و ۵ به صورت معادلات دیفرانسیل جزئی هستند، مناسب‌ترین حالت کاربردی برای مدل کردن آنها حالت معادلات دیفرانسیل جزئی در نرم‌افزار است. معادله ۴ که رفتار نفوذ گاز را نشان می‌دهد، یک معادله دیفرانسیل خطی است و بنابراین، با شکل ضریبی معادلات دیفرانسیل جزئی (رابطه ۶) مدل می‌شود. اما معادله ۵ معادله‌ای غیرخطی است و در نتیجه، مناسب‌ترین روش مدل کردن آن شکل عمومی معادلات دیفرانسیل جزئی (رابطه ۷) است.

ضرایب معادلات ۶ و ۷ به گونه‌ای در نرم‌افزار تعریف شدند که معادلات به معادلات نفوذ جرم و انتقال حرارت، یعنی معادلات ۴ و ۵ منجر شوند. عبارات پارامتری از قبیل $d(T,x) = \delta T / \delta x$ به صورت عبارات عمومی^۱ و عددی^۲ در نرم‌افزار تعریف شدند.

برای اجرای مطالعه پارامتری تمام ثابت‌های موجود در معادلات اعم از پنج ضریب کوپلینگ ($\alpha^T, \alpha^D, K_\mu, K_{T\mu}, C_{TY}$) به صورت ثابت‌هایی^۳ تعریف شدند. این روش این امکان را فراهم می‌سازد که مقدار یک پارامتر را در پنجره ثابت‌ها برای تحلیلهای بعدی بتوان به راحتی تغییر داد. یک تحلیل‌گر وابسته به زمان برای حل مسئله انتخاب و یک تحلیل‌گر مستقیم^۴ به عنوان تحلیل‌گر دستگاه خطی معادلات استفاده شد.

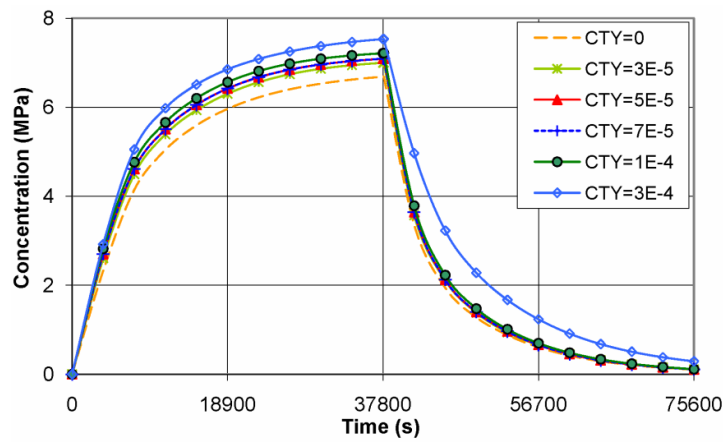
در این پژوهش ابتدا مدل‌های غیرکوپل ایجاد شدند و نتایج به دست آمده با نتایج حاصل از مدل‌های موجود در نرم‌افزار کامسول و نیز نتایج به دست آمده از مدل‌های ساخته شده در نرم‌افزار آباکوس مقایسه شدند. تطابق خوبی که بین نتایج این مدل‌ها وجود داشت، نشان داد که معادلات دیفرانسیل به درستی در نرم‌افزار تعریف شده‌اند. در مرحله بعدی مدل‌های کوپل شده با به کار بردن پشت سر هم ضرایب کوپلینگ ($\alpha^T, \alpha^D, K_\mu, K_{T\mu}, C_{TY}$) تحلیل شدند. سپس، نتایج به دست آمده با نتایج حاصل از مطالعه پارامتری رمبرت و همکارانش [۶] مقایسه شدند. استفاده از نتایج مدل‌سازی پژوهشگران دیگری همچون رمبرت و همکارانش برای مقایسه دارای چنین برتریهایی است:

۱. یافته‌های مدل‌سازی رمبرت و همکارانش به وسیله نتایج آزمایشگاهی دیگر پژوهشگران [۱۰] تأیید شده‌اند و بنابراین، مورد اعتماد هستند؛ ۲. مدل‌سازی آنها با نرم‌افزار تأیید شده‌ای همچون آباکوس انجام شده است و در نتیجه، برای بررسی قابلیت‌های نرم‌افزار جدیدتر کامسول مناسب است؛ ۳. چنانچه یک گروه پژوهشی دو مدل مشابه را در دو نرم‌افزار مختلف ایجاد می‌کردند، امکان وجود خطاهای مشابه در دو مدل‌سازی بیشتر از حالتی بود که دو مدل مشابه را دو گروه تحقیقی متفاوت ایجاد می‌کردند. مقایسه نتایج دو مدل ایجاد شده در دو گروه تحقیقی مختلف در این پژوهش موجب می‌شود از تکرار خطاهای پیش آمده منحصر به یک گروه جلوگیری شود.

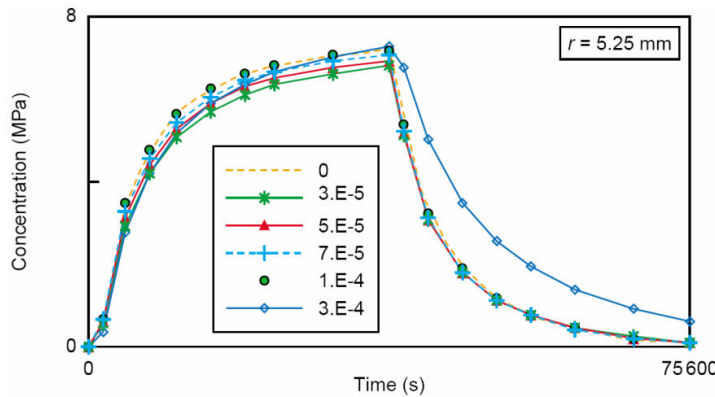
-
1. Global
 2. Scalar
 3. Constants
 4. UMFPACK

۵. نتایج و بحث

اثرهای مقادیر مختلف ضرایب کوپلینگ بر جابه‌جایی نقاط لوله، غلظت گاز در جداره لوله و همچنین، دمای لوله بررسی و نتایج بدست آمده با نتایج ارائه شده در پژوهش رمبرت و همکارانش [۶] مقایسه شد. شکل ۴ اثر ضریب کوپلینگ C_{TY} را بر غلظت گاز در شعاع ۵/۲۵ میلیمتری لوله در زمانهای مختلف نشان می‌دهد. بهمنظور مقایسه نتایج، نموداری مشابه از مقاله رمبرت و همکارانش [۶] استخراج و در شکل ۵ نشان داده شده است.



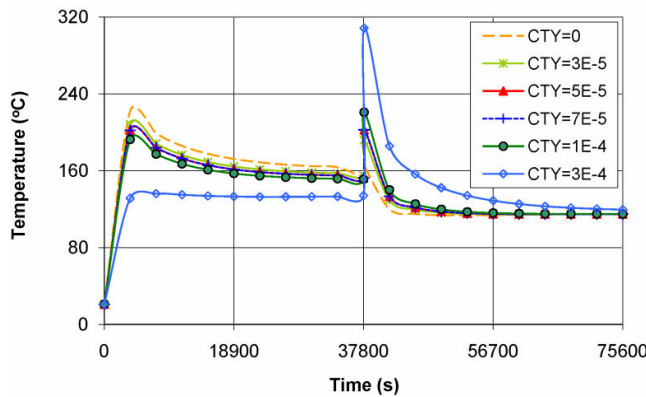
شکل ۴: اثر مقادیر مختلف C_{TY} بر غلظت در شعاع ۵.۲۵ mm در نرم افزار کامسول



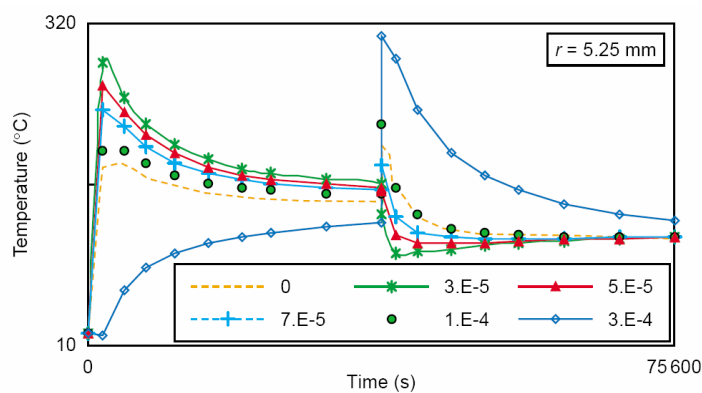
شکل ۵: اثر C_{TY} بر نفوذ گاز برای $K_{T\mu} = 1 \text{ kg}/(\text{m.s.K})$ ، $K_\mu = 104 \text{ kg.s/m}^3$ و مقادیر مختلف C_{TY} [۶]

مقایسه نمودارهای ارائه شده در شکل‌های ۴ و ۵ نشان می‌دهد که مدل ایجاد شده در نرم‌افزار کامسول قابلیت مدل کردن فیزیکهای کوپل شده سه‌گانه برای پیچیده‌ترین حالت کوپلینگ را، یعنی حالتی که تمام ضرایب کوپلینگ غیر صفر و موجود هستند، دارد.

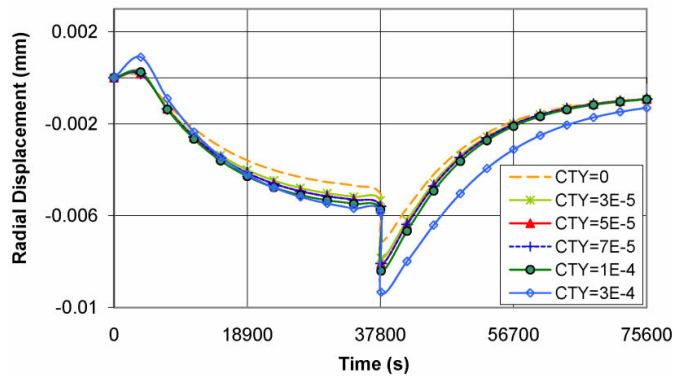
به طور مشابه اثر مقادیر مختلف C_{TY} بر دما و جابه‌جایی شعاعی در شعاع ۵/۲۵ میلیمتری لوله در زمانهای مختلف بررسی شد. نتایج به دست آمده و شکل‌های متناظر از پژوهش رمبرت و همکارانش [۶] در شکل‌های ۶ تا ۹ نشان داده شده‌اند.



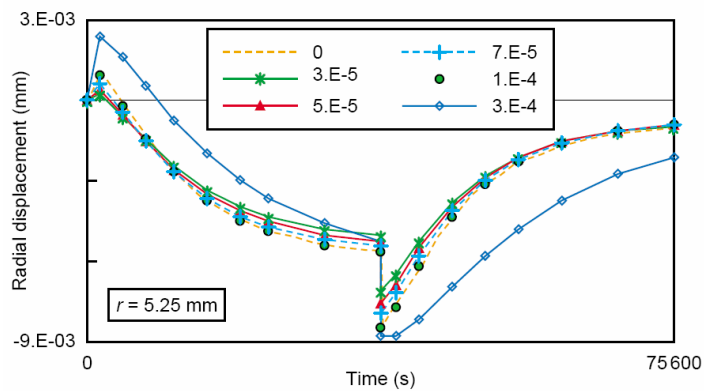
شکل ۶: اثر مقادیر مختلف C_{TY} بر دما در شعاع ۵.۲۵ mm مدل شده در نرم‌افزار کامسول



شکل ۷: اثرهای $K_{T\mu}$ و C_{TY} بر دما برای $K_{T\mu} = 1 \text{ kg}/(\text{m.s.K})$ ، $K_\mu = 10^4 \text{ kg.s/m}^3$ و مقادیر مختلف C_{TY}



شکل ۸: اثر مقادیر مختلف C_{TY} بر جایه‌جایی شعاعی در شعاع ۵.۲۵ mm مدل شده در نرم افزار کامسول



شکل ۹: اثرهای C_{TY} بر مکانیک سازه ای برای $K_{T\mu} = 1 \text{ kg}/(\text{m.s.K})$ و $K_{\mu} = 104 \text{ kg.s/m}^3$ و مقادیر مختلف C_{TY} [۶]

همان‌گونه که در شکل‌های ۹ تا ۶ مشاهده می‌شود، روند صعودی و نزولی نمودارهای بدست آمده از مدل‌های ایجاد شده در نرم‌افزار کامسول و نمودارهای ارائه شده در پژوهش رمبرت و همکارانش [۶] همگونی زیادی دارد. مقادیر نمودارها نیز بسیار شبیه است و تفاوت‌های اندک موجود در زمرة تفاوت‌های

موجود در تحلیل روش اجزای محدود قرار می‌گیرد. این تفاوتها می‌توانند برگرفته از تعداد شبکه‌های گوناگون در شبکه بنده مدل، فاصله‌های زمانی متفاوت یا روش‌های حل مختلف باشد.

۶. نتیجه‌گیری

در این پژوهش با به کار بردن روش حل عددی اجزای محدود در نرمافزار کامسول یک مسئله نسبتاً پیچیده شامل سه فیزیک کوپل شده در یک ماده پلیمری بررسی شد. تحلیل دو بعدی ایجاد شده از فیزیکهای کوپل شده مکانیک سازه‌ای، نفوذ گاز و انتقال حرارت در یک لوله گاز به راحتی انجام شد. نرمافزار کامسول امکان مطالعه پارامتری کاملی از مسئله را فراهم ساخت و نتایجی را تولید کرد که تطابق خیلی خوبی با پیشرفت‌های مطالعات امروزه دنیا در این زمینه از جمله پژوهش گروه رمیرت داشت. این تحقیق نشان داد که نرمافزار به کار برده شده امکان تحلیل مسائل حتی پیچیده‌تری را همچون تحلیل رفتار ویسکو الاستیک مواد، که از نظر محاسباتی زمانبر است، فراهم می‌سازد.

مراجع

1. Wong, E. H., Chan, K. C., Rajoo, R. and Lim, T. B. (2000) The mechanics and impact of hygroscopic swelling of polymeric materials in electronic packaging, *Proceedings, 50th Electronic Components and Technology Conference*, pp. 576-580.
2. Teh, L. K., Teo, M., Anto, E., Wong, C. C., Mhaisalkar, S. G., Teo, P. S. and Wong, E. H. (2005), Moisture induced failures of adhesive flip chip interconnects, *IEEE Transactions on Components and Packaging Technologies*, Vol. 28, No. 3, pp. 506-516.
3. Lahoti, S. P., Kallolimath, S. C. and Zhou, J. (2005) Finite element analysis of thermo-hygro-mechanical failure of a flip chip package, *6th International Conference on Electronics Packaging Technology*, pp. 330-335.
4. Holalkere, V., Mirano, S., Kuo, A., Chen, W., Sumithpibul, C. and Sirinorakul, S. (1997), evaluation of plastic package delamination via reliability testing and fracture mechanics approach, *Proceedings - Electronic Components and Technology Conference*, pp. 430-435.
5. Zhou, J. (2008), Transient analysis on hygroscopic swelling characterization using sequentially coupled moisture diffusion and hygroscopic stress modeling method, *Microelectronics Reliability*, pp. 805-810.
6. Lambert, G., Grandidier, J. C., Cangemi, L. and Meimon, Y. (2003), A modelling of the coupled thermodiffuso-elastic linear behaviour. application to explosive decompression of polymers, *Oil & Gas Science and Technology – Rev. IFP*, Vol. 58, No. 5, pp. 571-591.
7. Lambert, G., Jugla, G., Grandidier, J. C. and Cangemi, L. (2006), A modelling of the direct couplings between heat transfer, mass transport, chemical reactions and

- mechanical behaviour. *Numerical Implementation to Explosive Decomposition, Composites: Part A*, Vol. 37, pp. 571-584.
8. Rambert, G. and Grandidier, J. C. (2005), An approach to the coupled behaviour of polymers subjected to a thermo-mechanical loading in a gaseous environment, *European Journal of Mechanics A/Solids*, Vol. 24, pp. 151-168.
 9. Rambert, G., Grandidier, J.-C. and Aifantis, E. C. (2007), on the direct interactions between heat transfer, mass transport and chemical processes within gradient elasticity, *European Journal of Mechanics, A/Solids*, Vol. 26, No. 1, pp. 68-87.
 10. Jugla, G., Jochum, C., and Grandidier, J.-C. chemical-thermal and mechanical coupling model for the cure of a thermosetting matrix: application to fem simulation, *Key Engineering Materials*, Vol. 334-335, No. 1, pp. 225-228.
 11. Niamnuy, C., Devahastin, S., Soponronnarit, S. and Vijaya Raghavan, G.S. Modeling coupled transport phenomena and mechanical deformation of shrimp during drying in a jet spouted bed dryer, *Chemical Engineering Science*, Vol. 63, No. 22, pp. 5503-5512.
 12. Callister, W. D. (1997), *Materials Science and Engineering: An Introduction*, John Wiley and Sons, 4th Edition, New York.
 13. Cox, R. W. and Cohen, D. S. (1989), A mathematical model for stress-driven diffusion in polymers, *Journal of Polymer Science, Part B: Polymer Physics*, Vol. 27, No. 3, pp. 589-602.
 ۱۴. ریاحی، غلامحسین و عابدی، مهرداد (۱۳۸۷)، طراحی و تهیه نرم افزارآموزش الکترونیکی (e-Learning) به منظور آموزش نحوه عملکرد توربینهای بادی در سیستمهای انرژی تجدید پذیر، *فصلنامه آموزش مهندسی ایران*، سال دهم، شماره ۳۸، صص. ۱۳۵ - ۱۱۹.
 ۱۵. حبیب نژاد کورابیم، محروم (۱۳۸۱)، تدوین نرم افزار آموزشی ریاضیک به کمک سیستم چند رسانه ای، *فصلنامه آموزش مهندسی ایران*، سال چهارم، شماره ۱۳، صص. ۴۹ - ۳۷.
 ۱۶. ابراهیمی، محمد (۱۳۸۰)، نرم افزار آموزشی - پژوهشی درایوهای موتور القایی، *فصلنامه آموزش مهندسی ایران*، سال سوم، شماره ۹، صص. ۶۱ - ۴۵.
 17. Kholpotin, A. and Razanica, S. (2012), designing materials for mechanical invisibility cloaks, master's thesis in solid and structural mechanics, department of applied mechanics, division of dynamics and division of material and computational mechanics, Chalmers University of Technology, Gothenburg, Sweden.
 18. Olsson, P., Larsson, F., Khlopotin, A. and Razanica, S. (2012), designing materials for mechanical invisibility cloaks, *Proceedings of COMSOL Conference, Milan*, Italy.
 19. Zimmerman, W. B. J. (2006), *Multiphysics modelling with finite element methods*, World Scientific Pub., London, Hackensack, N.J.
 20. COMSOL Multiphysics modeling guide (2008), *COMSOL Multiphysics 3.5a*, pp. 245-286.